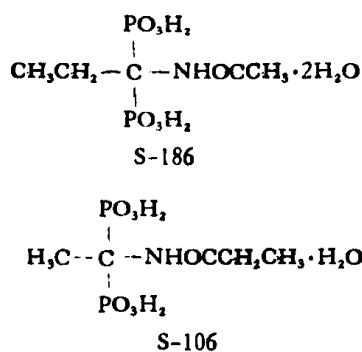


1-乙酰胺基丙叉-1, 1-二膦酸和 1-丙酰胺基乙叉-1, 1-二膦酸的离解常数

积二膦酸类是在同一碳原子上连有两个膦酸基的有机化合物，是一类有多用途的螯合剂。1-乙酰胺基丙叉-1, 1-二膦酸(代号 S-186) 和 1-丙酰胺基乙叉-1, 1-二膦酸(代号 S-106) 是中国科学院上海药物所合成的新型的积二膦酸，其结构如下：



它们对放射性同位素锝有很好的促排效果，为了进一步了解其螯合性质，我们在温度 $30^\circ \pm 0.1^\circ\text{C}$ 的 $0.15M\text{ KNO}_3$ 介质中，用 pH 电位法测定了它们的酸离解常数。

S-106 和 S-186 均为四元酸，其膦酸基上的四

个质子均可离解，我们用最小平方法和 Schwarzenbach 法对其酸离解常数进行了计算，其结果如下：

S-186：用最小平方法算得的 $PK_{a_1}, PK_{a_2}, PK_{a_3}$ ，和 PK_{a_4} 依次为 $2.10, 2.86, 7.25, 10.82$ ；用 Schwarzenbach 法算得的依次为 $2.08, 2.86, 7.25, 10.82$ ；两法的平均值依次为 $2.09, 2.86, 7.25, 10.82$ 。

S-106：用最小平方法算得的 $PK_{a_1}, PK_{a_2}, PK_{a_3}$ ，和 PK_{a_4} 依次为 $2.09, 2.98, 6.90, 10.14$ ；用 Schwarzenbach 法算得的依次为 $2.13, 2.93, 6.90, 10.14$ ；两法的平均值依次为 $2.11, 2.96, 6.90, 10.14$ 。

从以上结果可见，采用不同的方法对 S-186 和 S-106 的酸式离解常数进行计算，其结果十分一致，比较二者的逐级离解常数可见，它们的 PK_{a_1} 和 PK_{a_2} 十分相近，而 S-186 的碱度比 S-106 的稍强，反映在 S-186 的 PK_{a_3} 和 PK_{a_4} 有稍大的值。

罗勤慧

(南京大学配位化学研究所)

蒋 琰 谢毓元

(中国科学院上海药物研究所)

酪氨酸乙酯与 2,4-二硝基氟苯反应速度的溶剂效应的研究

长期以来人们一直用溶剂的介电常数 ϵ 和偶极矩 μ 来描述溶剂的极性，但它们仅能反映非专一性的静电作用。而溶剂分子与溶质分子间作用还包括了电子对供、受(EPD/EPA)，氢键供、受(HBD/HBA)等专一性作用。近年来，借助于光谱等方法，建立了许多描述溶剂极性的经验参数，其中重要的有酸参数 $E_T(30)$ ，供电子参数 DN ，受电子参数 AN 等。运用这些参数不仅能定性地，而且在很大范围内还能定量地解释溶剂对化学平衡，对反应速度等的影响。

本工作研究了 2,4-二硝基氟苯与酪氨酸乙酯的反应在 11 种溶剂中的反应速度。溶剂包括了质子溶剂，极性非质子溶剂和非极性溶剂。这是一个芳香亲核取代二级反应 $S_N2(\text{Ar})$ ，它遵从加成，消去机

制。我们发现，在大部分溶剂中该反应是二级反应，但在乙腈和乙酸乙酯中，二级速度常数随酪氨酸乙酯浓度的升高而有所升高。总的来说， k_2 按苯，1,2-二氯乙烷，乙酸乙酯，二氯六环，乙腈，甲醇，丙烯碳酸酯，乙醇，异丙醇，二甲基甲酰胺，二甲亚砜顺序递增。 k_2 主要和供电子参数 DN 相关，它遵守 Krygowski 和 Fawcett 提出的酸碱二参数方程：

$$\ln k_2 = -7.137 + 0.0672E_T(30) + 0.2385DN, \\ n = 10, r = 0.928, \bar{\alpha} = 16\%, \bar{\beta} = 84\% \text{。但较好的统计关系式是：}$$

$$\ln k_2 = -7.302 + 8.563 \frac{\epsilon - 1}{2\epsilon + 1} + 0.2108DN, \\ n = 10, r = 0.957, \bar{\alpha} = 30\%, \bar{\beta} = 70\% \text{，这是一个二参数线性自由能关系式，即介电常数和 } DN \text{ 参}$$

数分别是次要、主要因素。

我们又进一步研究了本反应的活性参数，发现不仅 k_2 ，而且 ΔS° 与 DN 之间也可以找到简单线性关系： $\Delta S^\circ = 1.096 DN - 50.725, r = 0.934, n = 7$ 。但 ΔH° 与 DN 之间的线性关系却不好。这可以从本反应受活化熵控制这一事实中得到解释。

与以前把溶剂按照 σ 或 μ 的大小排列成一序列

所不同的是，我们在 σ 和 DN 的二维坐标中研究了溶剂的分布，即同时考虑了静电的和非静电的作用。发现极性非质子溶剂、质子溶剂、碱性溶剂、非极性溶剂等在该坐标系中自然形成各自的群落，它们之间的关系也很清楚。

朱重远

(华东化工学院化学系，上海)

强啡肽 B 在大鼠脊髓中的镇痛作用

Goldstein 等最近的研究表明，在大鼠的脑、垂体和脊髓中，强啡肽 A(Dynorphin，十七肽)和强啡肽 B(Dynorphin B，或称 Rimorphin，十三肽)共存于同一神经元，它们来源于同一前体。我们曾报告强啡肽 A 在脊髓中有强烈镇痛作用，强啡肽 B 有何生理作用至今未见报道。本工作将强啡肽 B 注射到大鼠脊髓蛛网膜下腔，观察其是否具有镇痛作用，以及皮下注射纳洛酮是否可以翻转其镇痛作用，并将此镇痛作用及其对纳洛酮的敏感性与强啡肽 A(κ 受体激动剂)、吗啡或双氢埃托啡(μ 受体激动剂)作一比较。强啡肽 A 和 B 均由美国斯坦福大学药理系 Goldstein 教授提供。

用体重 200 克左右雌性大白鼠，在乙醚麻醉下切开寰枕后膜，向脊髓蛛网膜下腔插入外径 0.61 毫米的聚乙烯管到达腰膨大上缘。清醒后 24 小时开始实验。用辐射热甩尾法测试大鼠对伤害性刺激的躲避反应潜伏期(ARL)。在测得基础 ARL 之后，向大鼠脊髓蛛网膜下腔分别注入 15 微升生理盐水溶液内含强啡肽 B(10, 20 nmol)，强啡肽 A(5 nmol)，吗啡(20, 40 nmol)，或双氢埃托啡(0.01, 0.1, 1 nmol)。以生理盐水为对照。然后每 10 分钟测痛一次，直至 ARL 值恢复。在另外的动物中预先皮下注射纳洛酮或生理盐水，5 分钟后再向脊髓蛛网膜下

腔注射上述溶液。结果如下：

1. 大鼠脊髓蛛网膜下腔注射强啡肽 B 10 nmol，10 分钟后 ARL 升高 54±19% ($n = 9$)，持续约 30 分钟；注射 20 nmol，10 分钟后 ARL 增高 90±23% ($n = 7$)，持续约 80 分钟。20 nmol 强啡肽 B 在大鼠脊髓内的镇痛作用强度，约与 5 nmol 强啡肽 A、40 nmol 吗啡或 0.1 nmol 双氢埃托啡相当。若以吗啡的镇痛作用为 1，则等克分子的镇痛强度依次为吗啡：强啡肽 B：强啡肽 A：双氢埃托啡=1:2:8:400。

2. 大鼠脊髓蛛网膜下腔注射 40 nmol 吗啡的镇痛效应，可被皮下注射 0.5 mg/kg 纳洛酮翻转 50%，可被 1 mg/kg 纳洛酮翻转 80%；0.1 nmol 双氢埃托啡的镇痛作用可被 0.5 mg/kg 纳洛酮翻转 79%，而被 1 mg/kg 纳洛酮所全部翻转；但 20 nmol 强啡肽 B 或 5 nmol 强啡肽 A 在脊髓中的镇痛作用，不能被皮下注射 1 mg/kg 纳洛酮所防止或翻转，10 mg/kg 纳洛酮也只能将此镇痛作用翻转约 50%。

以上结果表明，(1) 强啡肽 B 在脊髓中有明显的镇痛作用，强度为吗啡的二倍。(2) 强啡肽 B 的镇痛作用不易被纳洛酮翻转，此特性与强啡肽 A 相似，提示它可能不作用于 μ 型阿片受体。

谢国玺 韩济生

(北京医学院生理教研室)